

I 型定常扩展裂纹尖端的弹黏塑性场

贾 斌^{*,1)} 王振清[†] 李永东^{**}

^{*}(哈尔滨工业大学航天学院, 哈尔滨 150001)

[†](哈尔滨工程大学建筑工程学院, 哈尔滨 150001)

^{**}(装甲兵工程学院机械工程系, 北京 100072)

摘要 考虑材料在扩展裂纹尖端的黏性效应, 假设黏性系数与塑性应变率的幂次成反比, 对幂硬化材料中平面应变扩展裂纹尖端场进行了弹黏塑性渐近分析, 得到了不含间断的连续解, 并讨论了 I 型裂纹数值解的性质随各参数的变化规律. 分析表明应力和应变均具有幂奇异性, 并且只有在线性硬化时, 尖端场的弹、黏、塑性才可以合理匹配. 对于 I 型裂纹, 裂尖场不含弹性卸载区. 当裂纹扩展速度趋于零时, 动态解趋于准静态解, 表明准静态解是动态解的特殊形式; 如果进一步考虑硬化系数为零的极限情况, 便可退化为 Hui 和 Riedel 的非线性黏弹性解.

关键词 准静态扩展, 动态扩展, 幂硬化, 弹黏塑性材料, 裂纹尖端场

中图分类号: O346.1 **文献标识码:** A **文章编号:** 0459-1879(2005)04-0421-07

引 言

扩展裂纹尖端的动态渐近解虽然解决了准静态解中存在的许多矛盾^[1], 但是其自身也存在一些问题. 例如, 某些动态解中含有塑性激波^[2~4]; 而在某些情况下, 当裂纹扩展速度趋于零时, 动态解趋于静态解而非准静态解^[2,5]. 但在这些动态解中, 都没有考虑材料的黏性效应.

无论是准静态扩展还是动态扩展, 由于在裂纹尖端存在应变的奇异性, 材料都将产生很高的应变率. 例如, 对动态扩展, 其塑性应变率的典型值高达 $10^3 \sim 10^5 \text{s}^{-1}$ ^[6]. 因此, 即使对于率敏感性很小的材料, 在这样高的应变率下, 黏性效应也会对材料性质产生重要影响. 另外, 理论分析和实验研究均表明, 在扩展裂纹尖端高度的能量集中导致不可逆变形, 一大部分变形能将以热的形式释放出来, 使裂纹尖端局部温度升高, 其幅度可达几百摄氏度, 甚至上千摄氏度^[7,8]. 在这样的高温下, 材料的性质必然发生变化, 黏性流动在裂纹尖端的变形中所占的比例将大大增加. 因此, 在研究裂纹尖端渐近场时, 如果考虑材料的黏性效应, 不仅更加符合实际情况, 得到更精确的解, 而且可能因此而解决率无关解中所存在的问题.

为了研究黏性效应作用下的扩展裂纹尖端场,

高玉臣^[9]对理想弹塑性材料引入了一种简化的弹黏塑性模型, 即忽略弹性阶段的黏性效应, 如图 1 所示. 对 I 型裂纹, 分别得到了对数型^[9]和幂型^[10]两种奇异解, 并确定了两种奇异解的分界^[10]. 在此基础上, 李范春等人^[11]研究了 III 型裂纹, 贾斌等人^[12]研究了 II 型裂纹, 得到了与 I 型问题相似的结论. 但是, 这些研究中所设想的黏性系数均与距离裂纹尖端的极径 r 成正比, 这虽然使奇异量级得到了匹配, 却也造成材料性质成为坐标的函数从而失去了均匀性. 此外, 对同种材料得到两种奇异解, 这也是值得深入讨论的. 本文假设黏性系数与塑性应变率的幂次成反比, 并进一步考虑材料的硬化, 经过渐近分析得到了均匀材料中的单一幂奇解. 最后通过与两种极限情况的对比, 验证了解的正确性.

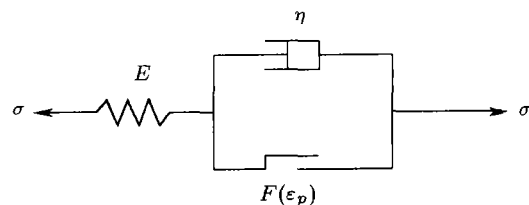


图 1 弹黏塑性力学模型

Fig.1 Elastic-viscoplastic constitutive model

2004-03-31 收到第 1 稿, 2004-12-09 收到修改稿.

1) E-mail: jiabin@hit.edu.cn

1 基本方程

令 $X_\alpha (\alpha = 1, 2)$ 表示平面上的固定坐标系. 考虑一条半无限大的裂纹在无限大的固体中以恒定速度 V 沿 X_1 方向扩展, X_2 与裂纹面垂直. 再以裂纹尖端为原点建立与裂纹尖端一起移动的随动坐标系 oxy 和 $or\theta$, 如图 2 所示. 对于定常扩展, 裂尖场中任何物理量 Ω 的物质导数为

$$\dot{\Omega} = \frac{d\Omega}{dt} = -V \frac{\partial \Omega}{\partial x} = V \left(\frac{\sin \theta}{r} \frac{\partial}{\partial \theta} - \cos \theta \frac{\partial}{\partial r} \right) \Omega \quad (1)$$

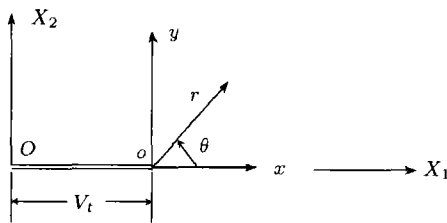


图 2 固定坐标系与随动坐标系

Fig.2 Stationary and moving coordinates

对于图 1 所示的弹黏塑性模型, 在一维情况下, 如果用 $\varepsilon, \varepsilon_e$ 和 ε_p 分别表示总应变、弹性应变和塑性应变, 用 σ, σ_v 和 σ_p 分别表示总应力、黏性应力和塑性应力, 则可以得到如下的联立方程组

$$\varepsilon = \varepsilon_e + \varepsilon_p, \quad \varepsilon_e = \frac{\sigma}{E}, \quad \dot{\varepsilon}_p = \lambda S_p \quad (2)$$

$$\sigma = \sigma_v + \sigma_p, \quad \sigma_v = \eta \dot{\varepsilon}_p, \quad S_p = \sigma_p - \sigma_p^m \quad (3)$$

其中: E 为弹性模量, λ 为塑性流动因子, η 为黏性系数, S_p 为塑性偏应力, σ_p^m 为平均塑性应力.

由上述方程组可以推得一维情况下的本构方程为

$$\dot{\varepsilon} = \frac{\dot{\sigma}}{E} + \frac{\lambda}{1 + \eta \lambda} S \quad (4)$$

在三维情况下, 对式 (2) 和式 (3) 用张量形式加以推广, 并由类似的推导可得其本构方程为

$$\dot{\varepsilon}_{ij} = \frac{1 + \nu}{E} \dot{\sigma}_{ij} - \frac{\nu}{E} \dot{\sigma}_{kk} \delta_{ij} + \frac{1}{\eta} \left(1 - \frac{K}{\sqrt{J_2}} \right) S_{ij} \quad (5)$$

式中 ν 为 Poisson 比, δ 为 Kroneker 符号, K 为材料屈服强度, J_2 为应力张量的第二不变量.

定义等效应力 $\bar{\sigma}$, 等效塑性应力 $\bar{\sigma}_p$ 和等效塑性应变 $\bar{\varepsilon}_p$ 的表达式分别为

$$\left. \begin{aligned} \bar{\sigma} &= \left(\frac{3}{2} S_{ij} S_{ij} \right)^{\frac{1}{2}}, \quad \bar{\sigma}_p = \left(\frac{3}{2} S_{ij}^p S_{ij}^p \right)^{\frac{1}{2}} \\ \bar{\varepsilon}_p &= \int \left(\frac{2}{3} \dot{\varepsilon}_{ij}^p \dot{\varepsilon}_{ij}^p \right)^{\frac{1}{2}} dt \end{aligned} \right\} \quad (6)$$

并设材料的硬化规律为

$$\bar{\sigma}_p - f(\bar{\varepsilon}_p) = 0 \quad (7)$$

式中 $f(\bar{\varepsilon}_p)$ 为塑性加载函数. 考虑在裂纹尖端高应变率区域内, 材料的黏性是应变率的函数, 为保证奇异量级的匹配, 同时各相关物理量的表达式不复杂, 假设黏性系数 η 具有如下幂函数形式

$$\eta = C(\dot{\varepsilon}_p)^{-\beta} \quad (8)$$

式中 C 为非负常数, β 为待定幂指数. 把上式代入式 (5), 经过整理后可得

$$\dot{\varepsilon}_{ij} = \frac{1 + \nu}{E} \dot{\sigma}_{ij} - \frac{\nu}{E} \dot{\sigma}_{kk} \delta_{ij} + \frac{3S_{ij}}{2\bar{\sigma}} \left(\frac{2}{3C} \right)^{\frac{1}{1-\beta}} H[\bar{\sigma} - f(\bar{\varepsilon}_p)] [\bar{\sigma} - f(\bar{\varepsilon}_p)]^{\frac{1}{1-\beta}} \quad (9)$$

其中 Heaviside 阶跃函数为

$$H[\bar{\sigma} - f(\bar{\varepsilon}_p)] = \begin{cases} 1, & \text{当 } \bar{\sigma} - f(\bar{\varepsilon}_p) > 0 \\ 0, & \text{当 } \bar{\sigma} - f(\bar{\varepsilon}_p) \leq 0 \end{cases} \quad (10)$$

假设应力具有如下形式的幂奇异性

$$\sigma_{ij} \sim r^{-\delta}, \quad 0 < \delta < 1/2 \quad (11)$$

并进一步假定在裂纹尖端, 黏性应力和塑性应力同量级, 且弹性应变和塑性应变同量级, 则由式 (9) 的量级协调可得

$$\delta = \frac{1}{\beta} - 1 \quad (12)$$

由 $0 < \delta < 1/2$, 可知黏性系数 η 的表达式中待定幂指数 β 的取值范围是 $2/3 < \beta < 1$.

再进一步讨论塑性硬化规律, 设式 (7) 取为以下幂硬化形式

$$\bar{\sigma}_p - k \bar{\varepsilon}_p^\alpha = 0 \quad (13)$$

其中硬化系数 k 为一常数, α 为幂硬化指数. 而由奇异性分析可知

$$\bar{\sigma}_p \sim r^{-\delta}, \quad \bar{\varepsilon}_p \sim r^{-\delta} \quad (14)$$

因此只有 $\alpha = 1$, 即在线性硬化情况下, 才能使弹性、黏性和塑性三者匹配. 此时材料的弹黏塑性本构关系变为

$$\dot{\varepsilon}_{ij} = \frac{1 + \nu}{E} \dot{\sigma}_{ij} - \frac{\nu}{E} \dot{\sigma}_{kk} \delta_{ij} + \frac{3S_{ij}}{2\bar{\sigma}} \left(\frac{2}{3C} \right)^{\frac{1}{1-\beta}} H[\bar{\sigma} - k \bar{\varepsilon}_p] [\bar{\sigma} - k \bar{\varepsilon}_p]^{\frac{1}{1-\beta}} \quad (15)$$

2 动态扩展裂纹渐近解

对于平面应变 I 型裂纹，在极坐标下，几何方程、运动方程及本构方程分别为

$$\left. \begin{aligned} \varepsilon_r &= \frac{\partial u_r}{\partial r}, \quad \varepsilon_\theta = \frac{1}{r} \frac{\partial u_\theta}{\partial \theta} + \frac{u_r}{r} \\ \varepsilon_{r\theta} &= \frac{1}{2} \left(\frac{1}{r} \frac{\partial u_r}{\partial \theta} + \frac{\partial u_\theta}{\partial r} - \frac{u_\theta}{r} \right) \end{aligned} \right\} \quad (16)$$

$$\left. \begin{aligned} \frac{\partial \sigma_r}{\partial r} + \frac{\partial \sigma_{r\theta}}{r \partial \theta} + \frac{\sigma_r - \sigma_\theta}{r} &= \rho w_r \\ \frac{\partial \sigma_\theta}{r \partial \theta} + \frac{\partial \sigma_{r\theta}}{\partial r} + \frac{2\sigma_{r\theta}}{r} &= \rho w_\theta \end{aligned} \right\} \quad (17)$$

$$\left. \begin{aligned} \dot{\varepsilon}_r &= -\dot{\varepsilon}_\theta = \frac{1}{4\mu} (\dot{\sigma}_r - \dot{\sigma}_\theta) + \\ &\quad \frac{3(\sigma_r - \sigma_\theta)}{4\bar{\sigma}} \left(\frac{2}{3C} \right)^{\frac{1}{1-\beta}} (\bar{\sigma} - k\bar{\varepsilon}_p)^{\frac{1}{1-\beta}} \\ \dot{\varepsilon}_{r\theta} &= \frac{1}{2\mu} \dot{\sigma}_{r\theta} + \frac{3\sigma_{r\theta}}{2\bar{\sigma}} \left(\frac{2}{3C} \right)^{\frac{1}{1-\beta}} (\bar{\sigma} - k\bar{\varepsilon}_p)^{\frac{1}{1-\beta}} \end{aligned} \right\} \quad (18)$$

在不可压缩条件下，引入位移势函数 U ，则位移分量可以表示为

$$u_r = -\frac{\partial U}{r \partial \theta}, \quad u_\theta = \frac{\partial U}{\partial r} \quad (19)$$

根据量级匹配的原则，设位移势函数 U 为如下形式

$$U = r^{2-\delta} g(\theta) \quad (20)$$

并且可以把各应力分量、等效应力及等效塑性应变分别表示为

$$\left. \begin{aligned} \sigma_r &= r^{-\delta} [P(\theta) + S(\theta)] \\ \sigma_\theta &= r^{-\delta} [P(\theta) - S(\theta)] \\ \sigma_{r\theta} &= r^{-\delta} T(\theta) \end{aligned} \right\} \quad (21)$$

$$\bar{\sigma} = \Sigma(\theta)r^{-\delta}, \quad \bar{\varepsilon}_p = r^{-\delta} R(\theta) \quad (22)$$

引入下列无量纲量

$$\left. \begin{aligned} D^* &= \frac{1}{V} \left(\frac{2\mu}{3C} \right)^{\frac{1}{1-\beta}} \\ \tilde{\lambda} &= \frac{3D^*}{2\tilde{\Sigma}} \tilde{H}(\tilde{\Sigma} - fR)(\tilde{\Sigma} - fR)^{\frac{1}{1-\beta}} \\ h(\theta) &= \sin \theta g'(\theta) - (2 - \delta) \cos \theta g(\theta) \\ \tilde{T} &= \frac{T}{\mu}, \quad \tilde{S} = \frac{S}{\mu}, \quad \tilde{P} = \frac{P}{\mu}, \\ \tilde{\Sigma} &= \frac{\Sigma}{\mu}, \quad M^2 = \frac{\rho V^2}{\mu}, \quad f = \frac{k}{\mu} \end{aligned} \right\} \quad (23)$$

其中

$$\tilde{H}(\tilde{\Sigma} - fR) = \begin{cases} 1, & \text{当 } \tilde{\Sigma} - fR > 0 \\ 0, & \text{当 } \tilde{\Sigma} - fR \leq 0 \end{cases} \quad (24)$$

把各相关量代入运动方程和本构方程，同时注意物质导数的求导规则式 (1)，经无量纲化并整理得

$$R' = -\delta R \cot \theta + \frac{D^*}{\sin \theta} (\tilde{\Sigma} - fR)^{\frac{1}{1-\beta}} \quad (25)$$

$$\tilde{S}' = \frac{2\delta h'}{\sin \theta} - \frac{3D^* \tilde{S}}{\tilde{\Sigma} \sin \theta} (\tilde{\Sigma} - fR)^{\frac{1}{1-\beta}} - \delta \tilde{S} \cot \theta + 2\tilde{T} \quad (26)$$

$$\left. \begin{aligned} \tilde{P}' &= \frac{2\delta h'}{\sin \theta} - \frac{3D^* \tilde{S}}{\tilde{\Sigma} \sin \theta} (\tilde{\Sigma} - fR)^{\frac{1}{1-\beta}} - \delta \tilde{S} \cot \theta + \\ &\quad \delta \tilde{T} - \delta M^2 [h' \sin \theta - (1 - \delta)h \cos \theta] \end{aligned} \right\} \quad (27)$$

$$\left. \begin{aligned} (1 - M^2 \sin^2 \theta) \tilde{T}' &= M^2 \sin \theta [2\tilde{S} \sin \theta + \delta \tilde{T} \cos \theta + \\ &\quad \frac{3D^* \tilde{T}}{\tilde{\Sigma}} (\tilde{\Sigma} - fR)^{\frac{1}{1-\beta}} + (1 - \delta^2)h] - \\ &\quad M^2 [(1 - \delta)h \sin \theta + \delta h' \cos \theta] + \\ &\quad \delta(\tilde{P} + \tilde{S}) - 2\tilde{S} \end{aligned} \right\} \quad (28)$$

$$\left. \begin{aligned} (1 - M^2 \sin^2 \theta) h'' &= -(1 - \delta^2)h - \delta \tilde{T} \cos \theta - \\ &\quad \frac{3D^* \tilde{T}}{\tilde{\Sigma}} (\tilde{\Sigma} - fR)^{\frac{1}{1-\beta}} - \delta(\tilde{P} + \tilde{S}) \sin \theta + \\ &\quad M^2 \sin \theta [(1 - \delta)h \sin \theta + \delta h' \cos \theta] \end{aligned} \right\} \quad (29)$$

3 数值计算与结果分析

在本问题中共有 4 个参数需要选择：反映材料硬化的系数 f ，反映裂纹扩展速度的参数 M ，反映材料黏性的系数 D^* 及指数 β 。问题的边界条件为

$$\left. \begin{aligned} \tilde{T}(0) &= h(0) = 0, \quad h'(0) = \frac{\sqrt{3}}{2} R(0) \\ \tilde{S}(0) &= \frac{1}{\sqrt{3}} \left\{ \left[\frac{\delta R(0)}{D^*} \right]^{1-\beta} + fR(0) \right\} \\ \tilde{P}(\pi) - \tilde{S}(\pi) &= 0, \quad \tilde{T}(\pi) = 0 \end{aligned} \right\} \quad (30)$$

因此以 $R(0)$ 和 $\tilde{P}(0)$ 为未知量进行双参数打靶，对上述 4 个参数分别取可能的数值进行计算，典型结果见表 1~ 表 4，图 3 为塑性流动因子随各参数的变化曲线，图中的各量均已无量纲化（图表中未注明参数均取自 $\beta = 0.8, f = 0.01, D^* = 1.1, M = 0.1$ ；取 β 为 0.909 1, 0.833 3, 0.769 2, 0.714 3，相当于 δ 取 0.1, 0.2, 0.3, 0.4）。

表 1 解随 f 的变化

Table 1 Solutions for different f

f	0.3	0.1	0.01	0.0
$\tilde{P}(0)$	2.4556	1.7463	1.5371	1.5164
$R(0) \times 10^{-2}$	0.8597	2.7925	3.5461	3.6237

表 2 解随 M 的变化

Table 2 Solutions for different M

M	0.3	0.1	0.01	0.0001
$\tilde{P}(0)$	1.4279	1.5371	1.5507	1.5509
$R(0) \times 10^{-2}$	1.4980	3.5461	3.9328	3.9369

表 3 解随 D^* 的变化

Table 3 Solutions for different D^*

D^*	100.0	1.0	0.01	0.0001
$\tilde{P}(0)$	0.4978	1.5742	4.9780	15.7415
$R(0) \times 10^{-2}$	1.1484	3.6316	11.4843	36.3165

表 4 解随 β 的变化

Table 4 Solutions for different β

β	0.9091	0.8333	0.7692	0.7143
$\tilde{P}(0)$	2.3096	1.7963	1.2737	7.2920×10^{-1}
$R(0)$	1.2626	1.2263×10^{-1}	8.4141×10^{-3}	9.4906×10^{-5}

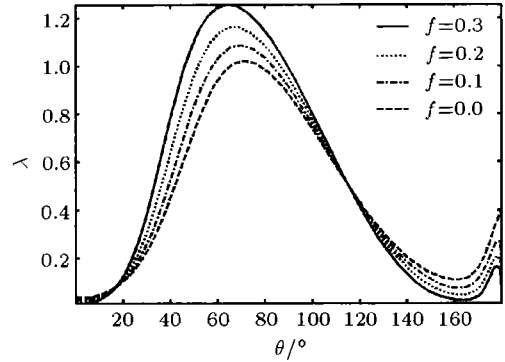
通过对计算结果的分析与比较可以发现, 所得到的解是完全连续的, 并且裂尖场完全被塑性区包围. 数值解随各参数的变化规律为:

(1) 随着 f 单调递增, 即材料的硬化程度增加, 应力幅值单调递增, 塑性应变初值递减但随坐标 θ 增加很快变为递增. 当 f 递增到一定值的时候方程组无解; 而当 $f = 0$ 时仍有解, 此时材料趋于文献 [13] 中的弹黏性状态.

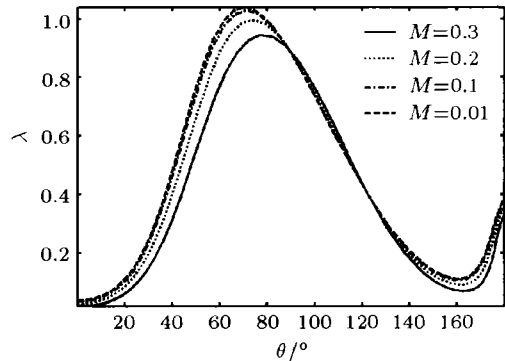
(2) 随着 M 单调递减, 即裂纹扩展速度减小, 应力幅值和塑性应变单调递增, 解稍有变化但不大, 且当 $M \rightarrow 0$ 时仍有解, 此解即应为准静态解, 可以通过下文与准静态解的比较得到这一结论.

(3) 随着 D^* 单调递减 (相当于 C 递增), 此时材料的黏性增加, 应力幅值和塑性应变单调递增, 解的变化比较显著, 但塑性流动因子不随 D^* 变化. 当 $D^* = 0$ 时, 方程组无解.

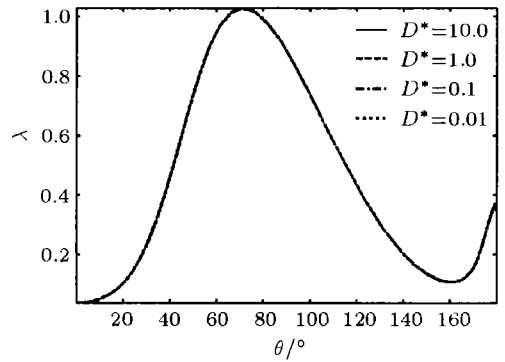
(4) 随着 β 单调递减 (相当于 δ 递增), 此时材料的黏性和裂尖场的奇异性都增加, 应力幅值、塑性应变和塑性流动因子都单调递减. 当 $\beta \rightarrow 2/3$, 即 $\delta \rightarrow 1/2$ 时, 塑性应变和塑性流动因子趋于零, 即趋于纯弹性解. 当 $\beta \rightarrow 1$ 时, $\delta \rightarrow 0$, 问题无解.



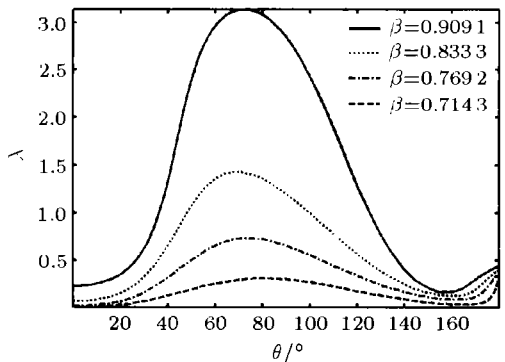
(a)



(b)



(c)



(d)

图 3 塑性流动因子随各参数的变化
Fig.3 Variations of plastic flow factor according to each parameter

4 极限情况 —— 与准静态解和 HR 解的比较

对相应的准静态问题，引入 Airy 应力函数 $\phi(x, y)$ 或 $\phi(r, \theta)$ ，使得应力表达式自动满足静平衡方程

$$\left. \begin{aligned} \sigma_r &= \frac{1}{r} \frac{\partial \phi}{\partial r} + \frac{1}{r^2} \frac{\partial^2 \phi}{\partial \theta^2}, \quad \sigma_\theta = \frac{\partial^2 \phi}{\partial r^2} \\ \sigma_{r\theta} &= -\frac{\partial^2 \phi}{\partial r \partial \theta} \left(\frac{\phi}{r} \right) \end{aligned} \right\} \quad (31)$$

应变率协调方程为

$$\frac{\partial^2 \dot{\epsilon}_r}{\partial \theta^2} + \frac{\partial}{\partial r} \left(r^2 \frac{\partial \dot{\epsilon}_\theta}{\partial r} \right) - r \frac{\partial \dot{\epsilon}_r}{\partial r} = 2 \frac{\partial^2 (r \dot{\epsilon}_{r\theta})}{\partial r \partial \theta} \quad (32)$$

根据量级分析，设应力函数 ϕ 的表达式为

$$\phi = r^{2-\delta} a(\theta) \quad (33)$$

引入无量纲量

$$\tilde{a} = \frac{a}{\mu} \quad (34)$$

把式 (33) 代入式 (31)，并和式 (22) 一起代入式 (32)，经无量纲化并整理得

$$\begin{aligned} \tilde{Y}' \sin \theta + (2 + \delta) \tilde{Y} \cos \theta - \\ 3D^* [(\delta^2 - 1) \tilde{\Psi}_1 - \tilde{\Psi}_1'' + 4\delta \tilde{\Psi}_2'] = 0 \end{aligned} \quad (35)$$

式中

$$\left. \begin{aligned} \tilde{Y}(\theta) &= \tilde{a}''' + 2(\delta^2 - 2\delta + 2)\tilde{a}'' + \\ &\quad \delta^2(2 - \delta)\tilde{a}, \\ \tilde{I}(\theta) &= \frac{(\tilde{\Sigma} - fR)^{\frac{1}{1-\beta}}}{\tilde{\Sigma}} \\ \tilde{\Psi}_1(\theta) &= \tilde{I}(\theta)[\tilde{a}'' + \delta(2 - \delta)\tilde{a}] \\ \tilde{\Psi}_2(\theta) &= \tilde{I}(\theta)[(1 - \delta)\tilde{a}'] \end{aligned} \right\} \quad (36)$$

其它各无量纲量的含义与动态问题相同。所需的另一方程与式 (25) 相同。

问题的边界条件为

$$\left. \begin{aligned} \tilde{a}(\pi) = \tilde{a}'(\pi) = \tilde{a}''(0) = \tilde{a}'''(0) = 0 \\ \tilde{a}'''(0) = \frac{N_1 + N_2 + N_3}{D_n} \\ \tilde{a}''(0) = -\frac{2}{\sqrt{3}} \left\{ \left[\frac{\delta R(0)}{D^*} \right]^{1-\beta} + fR(0) \right\} - \\ (2 - \delta)\delta\tilde{a}(0) \end{aligned} \right\} \quad (37)$$

其中

$$\begin{aligned} D_n &= 2 + \delta + 3D^* \tilde{I}(0) \left\{ 1 + \frac{3P_0^2}{4\tilde{\Sigma}(0)} \cdot \right. \\ &\quad \left. \left[\frac{1}{(1 - \beta)D_0} - \frac{1}{\tilde{\Sigma}(0)} \right] \right\} \end{aligned} \quad (38)$$

$$N_1 = (2 + \delta) [2(2\delta - \delta^2 - 2)\tilde{a}''(0) - \delta^2(2 - \delta)^2\tilde{a}(0)] \quad (39)$$

$$\begin{aligned} N_2 &= 3D^* [(\delta^2 - 1)\tilde{\Psi}_1(0) + 4\delta\tilde{\Psi}_2'(0) - \\ &\quad \delta(2 - \delta)\tilde{I}(0)\tilde{a}''(0) + \frac{f\tilde{I}(0)R''(0)P_0}{(1 - \beta)D_0}] \end{aligned} \quad (40)$$

$$\begin{aligned} N_3 &= \frac{9D^* \tilde{I}(0)P_0}{4\tilde{\Sigma}(0)} \left[\frac{1}{\tilde{\Sigma}(0)} - \frac{1}{(1 - \beta)D_0} \right] \cdot \\ &\quad \{ \delta(2 - \delta)\tilde{a}''(0)P_0 + [2(1 - \delta)\tilde{a}''(0)]^2 \} \end{aligned} \quad (41)$$

$$D_0 = \Sigma(0) - fR(0), \quad P_0 = \tilde{a}''(0) + (2 - \delta)\delta\tilde{a}(0) \quad (42)$$

以 $R(0)$ 和 $\tilde{a}(0)$ 为未知量进行双参数打靶，取典型参数值 ($f = 0.01, D^* = 1000$) 进行计算并与动态结果 ($M = 0.001$) 作对比，图 4 为 $\beta = 0.75$ 时的结果。通过比较可知，两者吻合得非常好，并且结果中均不含弹性卸载区。这表明对于本文采用的弹黏塑性模型及黏性假设，当马赫数 $M \rightarrow 0$ 时，动态解能够还原为准静态解。

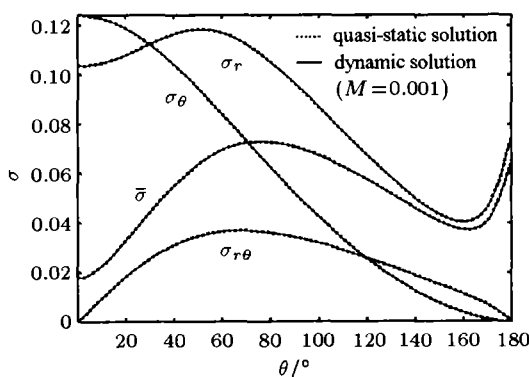


图 4 准静态解与 $M \rightarrow 0$ 的动态解的比较

Fig.4 Comparison of quasi-static solution with dynamic solution when $M \rightarrow 0$

进一步考虑当硬化系数 $f = 0$ 时，即可退化为 Hui 和 Riedel^[13] 的模型。此时本构方程式成为

$$\dot{\epsilon}_{\alpha\beta} = \frac{\dot{S}_{\alpha\beta}}{2\mu} + \frac{3}{2} \left(\frac{2}{3C} \right)^{\frac{1}{1-\beta}} \bar{\sigma}^{\left(\frac{1}{1-\beta} - 1 \right)} S_{\alpha\beta}, \quad \alpha, \beta = r, \theta \quad (43)$$

而在文献 [13] 中, 平面应变 I 型裂纹问题的本构方程为

$$\dot{\epsilon}_{ij} = \frac{\dot{S}_{ij}}{2G} + \frac{3}{2} B \sigma_e^{n-1} S_{ij}, \quad i, j = r, \theta \quad (44)$$

式中 G 为剪切模量, σ_e 为等效应力, 分别对应于本文中的 μ 和 $\bar{\sigma}$. 比较以上两式可见, 如果取

$$B = \left(\frac{2}{3C} \right)^{\frac{1}{1-\beta}}, \quad \beta = 1 - \frac{1}{n} \quad (45)$$

则这两个方程是相同的, 两者应该有一致的结果.

首先从理论上分析, 可以得到这样的结论: 在文献 [13] 中, 当 $n < 3$ 时, 弹性应变量级高于塑性应变, 裂尖场为弹性场, 而 $n < 3$ 对应于本文中的 $\beta < 2/3$, 此时裂尖场也为弹性场; 当 $3 < n < \infty$ 时, 弹性应变与塑性应变共同主导裂尖场, 而 $3 < n < \infty$ 恰对应于本文中的 $2/3 < \beta < 1$, 此时裂尖场也是弹黏塑性场.

数值计算也可以证明两者是一致的, 结果如图 5 所示, 参数的取值为: $f = 0, D^* = 1, M = 0.001, \beta = 0.75$ (对应于文献 [13] 中的 $n = 4$). 由图 5 可见, 两个解完全重合. 因此, 当硬化系数 $f = 0$ 时, 本文的模型可以退化为 Hui 和 Riedel 的解 [13]. 这进一步反映了本模型的正确性及合理性.

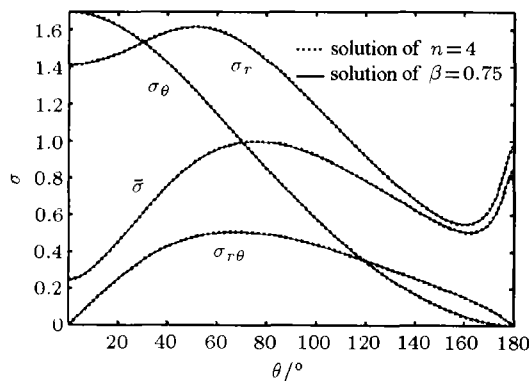


图 5 与 Hui 和 Riedel 的解 [13] 的比较

Fig.5 Comparison of solutions with that of Hui and Riedel [13]

5 结 论

(1) 由于在力学模型中考虑了材料的黏性效应, 本文得到的裂纹尖端场是局部自治的, 结果中不含必须由远场条件确定的待定参数或系数. 这一点与 Gao 等 [14] 得到的结论是一致的.

(2) 采用弹黏塑性模型, 结合合理的黏性假设, 通过渐近分析表明在裂纹尖端, 应力和应变均具有

形如 $r^{-\delta}$ ($0 < \delta < 1/2$) 的幂奇异性, 奇异性指数 δ 由材料的黏性系数唯一确定.

(3) 对幂硬化材料, 当硬化指数为 1, 即成为线性硬化材料时, 材料的弹性、黏性和塑性在量级上可以得到合理的匹配.

(4) 本文得到的裂尖场是完全连续的, 不含有一些无黏性模型中存在的塑性激波.

(5) 对不可压缩条件下的平面应变 I 型裂纹问题, 裂尖场完全由黏塑性区构成, 不存在弹性卸载区.

(6) 当裂纹扩展的马赫数 $M \rightarrow 0$ 时, 本文的动态解可以还原为相应的准静态解; 并且当硬化系数为零时, 本文的弹黏塑性解能够退化为文献 [13] 中的弹性——非线性黏性解.

(7) 由于黏性的引入, 本文的结果具有很多更加合理的特性, 这表明黏性是研究扩展裂纹尖端场时的一个重要因素.

参 考 文 献

- 1 高玉臣, 韩斌, 黄克智. 扩展裂纹准静态渐近解中的矛盾. 力学学报, 1986, 18 (1): 88~92(Gao Yuchen, Han Bin, Hwang Kehchih. The contradictions in the quasi-static asymptotic solution to a growing crack. *Acta Mechanica Sinica*, 1986, 18(1): 88~92(in Chinese))
- 2 Gao YC, Nemat-Nasser S. Dynamic fields near a crack tip growing in an elastic-perfectly-plastic material. *Mech of Materials*, 1983, 2 (1): 47~60
- 3 Gao YC, Nemat-Nasser S. Near-tip dynamic fields for a crack advancing in a power-law elastic-plastic material: mode I, II and III. *Mech of Materials*, 1983, 2 (3): 305~317
- 4 Gao YC. Asymptotic dynamic solution to the mode I propagating crack tip field. *Int J Frac*, 1985, 29 (4): 171~180
- 5 Gao YC, Nemat-Nasser S. Mode II dynamic fields near a crack tip growing in an elastic-perfectly-plastic solid. *J Mech Phys Solids*, 1984, 32 (1): 1~19
- 6 Östlund S. On numerical modeling and fracture criteria of dynamic elastic-viscoplastic crack growth. *Int J Frac*, 1990, 44 (4): 283~299
- 7 Kumar RK, Narasimhan R, Prabhakar O. Temperature rise in a viscoplastic material during dynamic crack growth. *Int J Frac*, 1990, 48 (1): 23~40
- 8 Zehnder AT, Rosakis AJ. On the temperature distribution at the vicinity of dynamically propagating cracks in 4340 steel. *J Mech Phys Solids*, 1991, 39 (3): 385~415
- 9 Gao YC. Uniparameter plastic field near a dynamic crack-tip. *Mech Res Communications*, 1988, 15(5): 307~313
- 10 Gao YC. Further study on strain singularity behavior of moving cracks in elastic-viscoplastic materials. *Theo Appl Frac Mech*, 1990, 14(3): 233~242
- 11 李范春, 齐辉, 周健生. III型动态扩展裂纹尖端场的奇异性研究. 哈尔滨工程大学学报, 1996, 17 (3): 120~126(Li Fanchun,

- Qi Hui, Zhou Jiansheng. Viscoplastic field near a propagation crack tip of mode III. *J Harbin Eng Univ*, 1996, 17(3): 120~126 (in Chinese))
- 12 贾斌, 王振清, 李永东等. 稳恒扩展裂纹尖端的弹黏塑性场. 应用力学学报, 2003, 20(1): 64~69(Jia Bin, Wang Zhenqing, Li Yongdong, et al. The elastic-viscoplastic field of a steady propagating crack tip. *J Appl Mech*, 2003, 20(1): 64~69(in Chinese))
- 13 Hui CY, Riedel H. The asymptotic stress and strain field near the tip of a growing crack under creep conditions. *Int J Frac*, 1981, 17(4): 409~425
- 14 Gao YC, Wang ZQ. Stress and strain field near tip of mode III growing crack in materials with creep behavior. *Theo Appl Frac Mech*, 1996, 25 (2): 113~126

THE ELASTIC-VISCOPLASTIC FIELD AT MODE I STEADILY PROPAGATING CRACK-TIP

Jia Bin^{*,1)} Wang Zhenqing[†] Li Yongdong^{**}

^{*}(School of Astronautics, Harbin Institute of Technology, Harbin 150001, China)

[†](Architectural Engineering College, Harbin Engineering University, Harbin 150001, China)

^{**}(Mechanical Engineering Department, Armored Forces Engineering Institute, Beijing 100072, China)

Abstract The viscosity of material is considered at propagating crack-tip. Under the assumption that the artificial viscosity coefficient is in inverse proportion to power law of the plastic strain rate, an elastic-viscoplastic asymptotic analysis is carried out for moving crack-tip fields in power-hardening materials under plane-strain condition. A continuous solution is obtained containing no discontinuities. The variations of numerical solution are discussed for mode I crack according to each parameter. It is shown that stress and strain both possess power law singularity. The elasticity, plasticity and viscosity of material at crack-tip only can be matched reasonably under linear-hardening condition. And the tip field contains no elastic unloading zone for mode I crack. The quasi-static solution is recovered when the crack moving speed approaches zero, which show that the quasi-static solution is a special case of a dynamic one. If the limit case of zero hardening coefficient is further considered, the solution can be transformed to the elastic-nonlinear-viscous one of Hui and Riedel.

Key words quasi-static propagation, dynamic propagation, power hardening, elastic-viscoplastic material, crack-tip field

Received 31 March 2004, revised 9 December 2004.

1) E-mail: jiabin@hit.edu.cn